

تأثیر چرخه‌های حرارتی بر دمای تبدیل^۱ و برگشت پذیری شکل در آلیاژ

حافظه‌دار $69/85\text{Cu}27/08\text{Zn}2/05\text{Ti}$

سید خطیب‌الاسلام صدرتیزاد (استاد)

حمید خرسند (دانشجوی دکترا)

عبدالرضا ناتکیر (کارشناس)

دانشکده‌ی مهندسی و علم مواد

دانشگاه صنعتی شریف

هدف این بررسی مشخص کردن چکونگی و میزان تأثیر چرخه‌های حرارتی بر دماهای تبدیل و خاصیت حافظه‌داری در آلیاژ دارای درصد وزنی مس، $27/08$ درصد وزنی روی، $69/05$ درصد وزنی آلمینیم و $05/08$ درصد وزنی نیتانیم است. برای این منظور ابتدا آلیاژ مورد نظر از طریق ذوب در کوره برقی، و سپس ریخته‌گری در قالب فولادی تولید شد. سپس برای ایجاد اثر حافظه‌داری، عملیات ترمومکانیکی (همکنسازی، نورد گرم و آبدانن^۲ سریع در مخلوط آب و بخ) بر آلیاژ انجام شد. آنکه مقاومت الکتریکی بر حسب دما اندازه‌گیری و رسم شد. برای تعیین تأثیر چرخه‌های حرارتی^۳ بر دمای تبدیل، 136°C چرخه شامل آبدانن آلیاژ با ازت مایع به میزان کمتر از دمای شروع تشکیل مارتنتزیت (Ms)، و گرم کردن به میزان بیش از دمای خاتمه‌ی تولید آستنیت (Af)، بر آلیاژ اعمال شد. مطالعات ساختاری و دماستانجی نشان داد که با افزایش تعداد چرخه‌ها، تیغه‌های مارتنتزیت تدریجی درشت‌تر، درصد حجمی مارتنتزیت باقی‌مانده کمتر، حلقه‌های پسماند^۴ حرارتی کوچک‌تر، و سرانجام خاصیت بازگشت شکل^۵ کمتر می‌شود.

«متالورژی پودر» و «اتصال نفوذی» به عنوان گرانی نسبی پودر و زمان‌بربودن عملیات، از نظر اقتصادی چندان مفروض به صرفه نیست.^{۶ و ۷}

یکی از عوامل اساسی در کاربرد برنج‌های حافظه‌دار، دمای تبدیل است. تحقیقات نشان می‌دهد که در برنج حاوی $40/06$ درصد وزنی روی، اعمال 50°C چرخه‌ی حرارتی می‌تواند دمای Ms را تا حدود 50°C افزایش دهد.^{۸ و ۹} تحقیق دیگر درخصوص برنج حاوی $39/62$ درصد وزنی روی نشان می‌دهد که اعمال همین تعداد چرخه‌ی حرارتی، دمای Ms را حدوداً 30°C کاهش می‌دهد. بنابراین به نظر می‌رسد که در باره‌ی تأثیر چرخه‌های حرارتی بر دمای تبدیل مارتنتزیت در سیستم برنج «بنا» اطلاعات کاملاً روش و قانونمندی وجود ندارد. بنابراین، دسترسی به اطلاعات لازم مستلزم طراحی نمونه‌ی از آلیاژ حافظه‌دار برنجی، و قراردادن آن تحت چرخه‌های پی در پی حرارتی است.

طراحی یک نمونه آلیاژ حافظه‌دار در این طراحی، برای ساخت آلیاژ حافظه‌دار برنجی، نوعی کوره‌ی الکتریکی مقاومتی، حاوی دو محفظه‌ی ذوب در نظر گرفته شد. هر محفظه‌ی این کوره شامل یک بوته‌ی گرافیتی بود که برای نگهداری و

مقدمه

در سال‌های اخیر، پدیده‌ی حافظه‌داری و خاصیت مارتنتزیت گرمکشسان^۱، در بسیاری از آلیاژها و از جمله برنج آلمینیم دار Cu-Zn-Al مورد توجه و تحقیق قرار گرفته است.^{۱۰ و ۱۲} حافظه‌داری در تبدیل از مارتنتزیت به آستنیت پدیدار می‌شود به گونه‌ی که اگر بر نمونه‌ی آلیاژ در حالت کاملاً مارتنتزیتی تغییر شکل معینی اعمال شود با برگشت به حالت آستنیتی، کرنش ذخیره‌شده را آزاد کرده و به شکل اولیه‌ی خود برمی‌گردد.

کاربرد آلیاژهای حافظه‌دار اخیراً افزایش چشمگیری یافته است. از جمله می‌توان به کاربرد این مواد در ترموموستات‌های حرارتی، ابزارهای اتصال استخوان، میخ‌های ارتوپدی، اتصالات فلزی، کلیدهای خودکار، قاب‌های عینک، سیستم‌های کنترل خودرو و حتی قطعات در معرض تصادف در بدنه‌ی اتومبیل اشاره کرد.^{۱۱ و ۱۲} برای ساخت برنج‌های حافظه‌دار از روش‌های متعددی مانند «ذوب و ریخته‌گری»، «متالورژی پودر» و «اتصال نفوذی» استفاده می‌شود، که در این میان روش «ذوب و ریخته‌گری» در مقایسه با دیگر روش‌ها، ساده‌تر است. برای مثال، عناصر سازنده را در یک کوره‌ی برقی القایی یا قوسی می‌توان بار کرد و تحت اتمسفر کنترل شده، ذوب و سپس ریخته‌گری کرد.^{۱۳ و ۱۴} استفاده از روش‌های

آهنی قرار گرفته و روی آن با گرافیت و در آن با گل نسوز پوشانیده شد.

پس از همگن‌سازی، آلیاز تا ضخامت 5 mm نورد گرم، و سپس نمونه‌های کوچک‌تری به ابعاد $5\text{ mm} \times 2\text{ mm} \times 60\text{ mm}$ از تسمی نورد شده تهیه شد. برای ایجاد خاصیت حافظه‌داری، به نمونه‌ها شکل خاصی داده شد و سپس به مدت ۱۰ دقیقه در دمای 850°C قرار گرفتند تا فاز بتا در آنها پایدار شود. سپس در مخلوط آب و یخ سریعاً سرد شدند.

برای اندازه‌گیری دمای تبدیل، دستگاهی ساخته شد متشکل از سه بخش: (الف) بخش الکترونیکی که مقاومت الکتریکی را بادقت $\pm 10^{\circ}\text{C}$ اهم اندازه گیری می‌کرد؛ (ب) بخش تجهیزات مربوط به سرد و گرم کردن، که از نیتروژن مایع و اب گرم استفاده می‌کرد؛ (ج) سیستم سخت‌افزاری A/D و رایانه که در صورت اتصال به دستگاه مقاومت سنج، اطلاعات را دریافت و منحنی‌های مقاومت الکتریکی را بر حسب دما رسم می‌کرد. ترموموکوپلی از نوع Pt100 دما را بادقت $\pm 1^{\circ}\text{C}$ اندازه گیری می‌کرد.

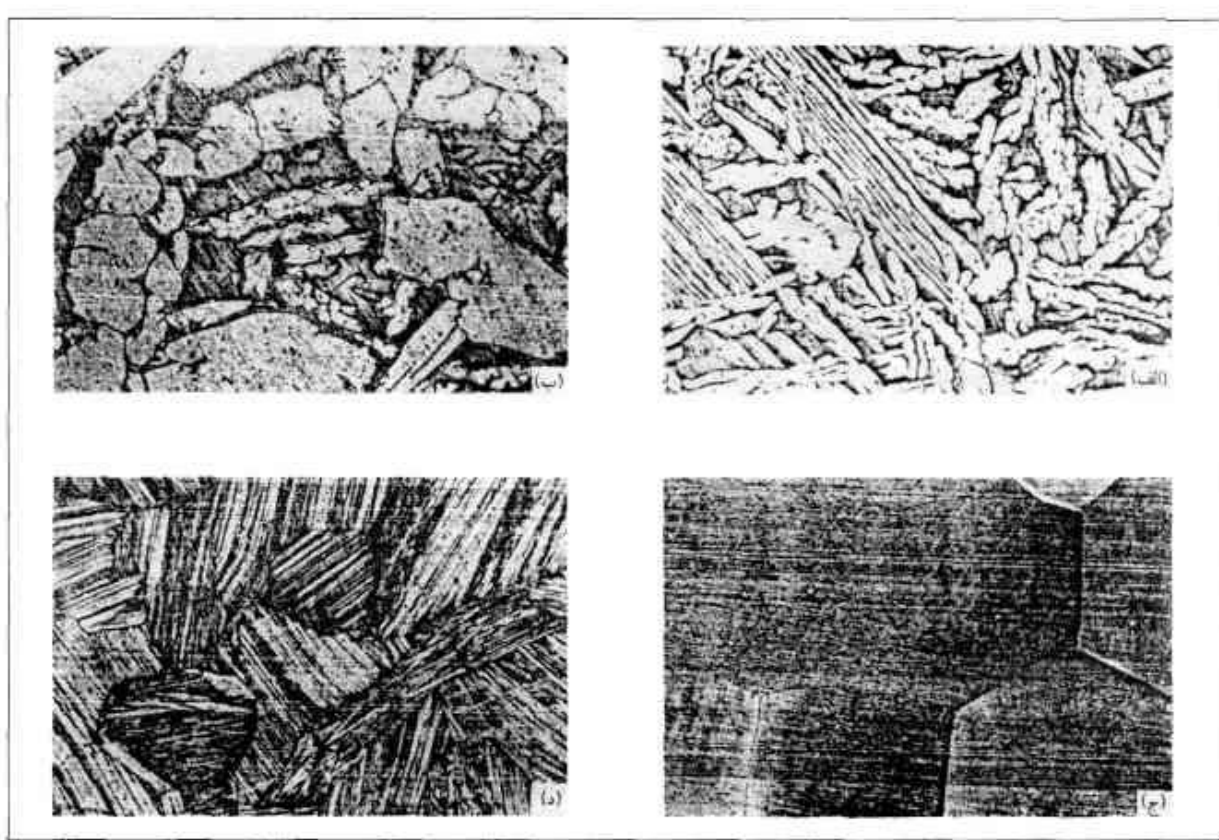
سرد و گرم کردن‌های متوالی تا زیر دمای Mf و تا بالای دمای Af ، دمای تبدیل آلیاز را دستخوش تغییراتی می‌ساخت. برای بررسی این تغییرات، آلیاز ساخته شده تحت $3, 10, 21, 56$ و 126 چرخه‌ی

گرم کردن بوته‌ی آلومینیمی حاوی مواد اولیه‌ی فلزی به کار می‌رفت. این آلیاز از قطعات مس با خلوص ۹۹/۹۹ درصد (ساخت شرکت صنایع مس ایران)، روی با خلوص ۹۹/۹۹ درصد (محصول فنلاند)، آلومینیم با خلوص ۹۹/۹ درصد (محصول شرکت ایرالکو) و تیتانیم اسفنجی با خلوص ۹۹/۴ درصد (به عنوان جوانه‌زا) ساخته شد. ذوب کردن این قطعات، با استفاده از یک بوته‌ی آلومینیا بد قطر 5 cm و ارتفاع 8 cm و ظرفیت 250 g انجام گرفت.

برای ریخته گری، لازم بود ابتدا قالب‌های فولادی تخت تا 400°C پیش‌گرم شوند. دمای کوره‌ی ذوب توسط یک رشته ترموموکوپل از نوع Pt-Pt/Rd اندازه گیری، و سپس به کمک یک دستگاه نمایشگر خوانده شد.

آزمایش نشان داد که به هنگام افزودن روی (دمای ذوب برابر 419°C و دمای تبخر برابر 907°C) به مس مذاب (دمای ذوب برابر 1083°C) حدود ۱۶ درصد از روی تلف می‌شود. مقدار این اتلاف برای آلومینیم حدود ۸ درصد بود. بنابراین، لازم بود مقدار مواد اولیه‌ی مورد نظر در هر بار تصحیح شود.

آلیاز ریخته شده به مدت ۲۴ ساعت در یک کوره‌ی الکتریکی و در درجه‌ی حرارت 850°C همگن شد. طی این مدت، برای جلوگیری از جذب اکسیژن و نیتروژن‌ها، نمونه داخل یک ظرف



شکل ۱. ساختار میکروسکوپی آلیاز بعد از: (الف) ریخته گری؛ (ب) همگن‌سازی؛ (ج) نورد گرم؛ (د) عملیات آیدادن سریع

جدول ۱. تأثیر ۳۰ دقیقه پیری در دمای ۱۰۰°C بر دماهای تبدیل

$\Delta = Af - Ms$	Af	As	Mf	Ms	دماهی تغییر حالت
۳	۲۷	۱۱	-۱۷	۲۴	بعد از عملیات آبدادن (°C)
۴	۲۸	۹	-۲۰	۲۴	بعد از عملیات پیرسازی (°C)

شده است. این تأثیر می‌تواند سبب بسط منحنی پسماند (مقاومت الکتریکی بر حسب دما) در امتداد محور دما شود.^[۱۱و۹] علت این پدیده، نزدیک شدن فاز مارتنزیت به شرایط تعادل و تشکیل فازهای شبه متعادل جدید در زمینه است. این تغییر در کاربردهایی که تغییر شکل سریع نیاز دارند مطلوب نیست (شکل ۲).

تأثیر چرخه‌های حرارتی بر دمای تبدیل و میزان برگشت پذیری^۹ تاکنون نتایج کامل و نظاممندی درخصوص تأثیر چرخه‌های حرارتی بر دماهای تبدیل آلیاژهای برنج گزارش نشده است. بسته به نوع سیستم آلیاژی، ترکیب شیمیایی نمونه، تاریخچه عملیات حرارتی و یک طرفه یا دوطرفه‌دار متفاوت است. تأثیر تعداد چرخدۀای حرارتی بر آلیاژهای حافظه‌دار متفاوت است. تأثیر تعداد چرخدۀای حرارتی بر دماهای تبدیل آلیاژ طراحی شده در این تحقیق در شکل ۳ نشان داده شده است.

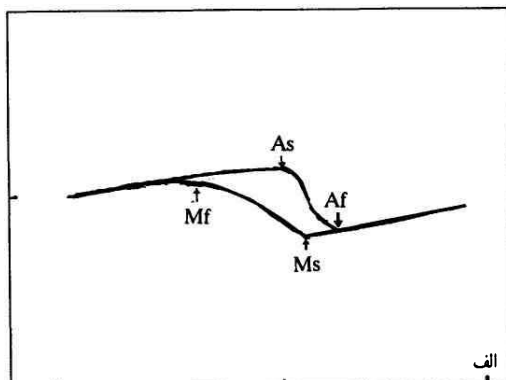
حرارتی قرار گرفته، و دمای تبدیل آن هر بار اندازه‌گیری شد.

ساختمان میکروسکوپی آلیاژ طراحی شده در شکل ۱-الف) ساختار میکروسکوپی آلیاژ بعد از عملیات ریخته‌گری نشان داده شده است. این ساختار شامل دندربیت^۷‌های آلفا و بتاست. شکل ۱-ب) ساختار میکروسکوپی آلیاژ را بعد از عملیات همگن‌سازی نشان می‌دهد. چنان که مشاهده می‌شود، با قرار گرفتن آلیاژ به مدت ۲۴ ساعت در دمای ۸۵۰°C دانه‌های رشد کرده و دندربیت‌ها بزرگ می‌شوند. شکل ۱-ج) ساختار میکروسکوپی آلیاژ را بعد از نورد گرم نشان می‌دهد. براثر نورد گرم، دانه‌ها در یک جهت کشیده می‌شوند و ابعادشان وسیع‌تر می‌شود. شکل ۱-د) تیغه‌های مارتنزیت به وجود آمده را پس از عملیات بتاسازی و آبدادن سریع که عامل ایجاد خاصیت حافظه‌داری هستند، نشان می‌دهد. وجود فاز آلفا در لابلای تیغه‌های مارتنزیت می‌تواند به علت پایین‌بودن سرعت آبدادن و نزدیکی به حالت تعادل باشد.

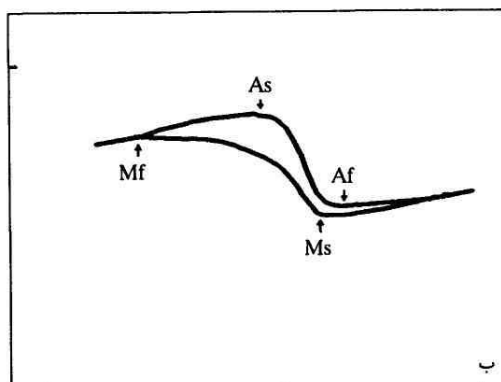
چگونگی ایجاد تیغه‌های مارتنزیت در آلیاژهای حافظه‌دار با آلیاژهای معمولی فرق دارد؛ به این ترتیب که در آلیاژهای حافظه‌دار این تیغه‌ها با به کارگیری سازوکار دوقلویی، ولی در آلیاژهای معمولی از طریق سازوکار لغزش به وجود می‌آیند. سازوکار دوقلویی سبب ذخیره‌ی کرنش در فاز مارتنزیت و حافظه‌داری آن براثر تبدیل مجدد به آستنیت می‌شود، در حالی که سازوکار لغزش به تغییر شکل پلاستیک و ذخیره‌ی کرنش می‌انجامد.^[۱۰و۱]

بررسی خاصیت حافظه‌داری

برای بررسی خاصیت حافظه‌داری، نمونه با استفاده از نیتروژن مایع تا حدود ۵۰°C- سرد، و سپس تا ۹۰°C خم شد. سپس در مجاورت هوا قرار گرفت تا از محیط گرما دریافت کند و به شکل اول (فیل از خم شدن) برگردد. در این حالت بازگشت تقریباً به طور کامل می‌سریبد. برای حفظ این خصوصیت، باید از پیرکردن^۸ نمونه - بویژه در نزدیکی دمای شروع ایجاد مارتنزیت - خودداری کرد، چراکه پیری عامل بسیار مؤثری در سوق مارتنزیت به سمت پایداری و کاهش قدرت بازگشت تتش و کرنش ذخیره‌شده است. این فرایند برای آلیاژهایی که دمای Mf آنها پایین‌تر از ۰°C است اهمیت بسیاری دارد زیرا نمونه در دمای محیط به سرعت از کار افتاده می‌شود. در جدول ۱ تأثیر ۳۰ دقیقه پیری بر دمای تبدیل، در دمای ۱۰۰°C، نشان داده



الف



ب

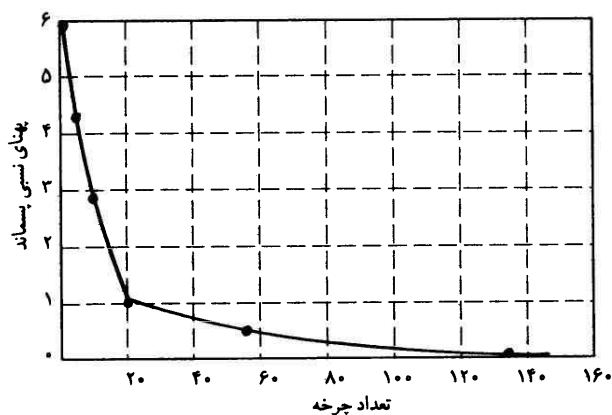
شکل ۲. منحنی تغییرات مقاومت الکتریکی بر حسب دما: (الف) بعد از آبدادن؛ (ب) بعد از پیرکردن.

جدول ۲ نیز تأثیر تعداد چرخه‌های حرارتی را بر دماهای تبدیل نشان می‌دهد. دماهای Ms و Mf با افزایش تعداد چرخه‌ها، افزایش یافته و سپس تقریباً ثابت می‌مانند، در حالی که دمای Af با افزایش تعداد چرخه‌های حرارتی، ابتدا سریع‌تر و سپس با آهنگی کنترل افزوده می‌شود. دمای As نیز ابتدا با افزایش تعداد چرخه‌های حرارتی افزون‌تر می‌شود، ولی بعد کاهش می‌یابد.

شکل ۴ تأثیر تعداد چرخه‌های حرارتی را بر مقاومت الکتریکی، بر حسب دما، و شکل ۵ تأثیر کاهنده این چرخه‌ها را بر پهنهای حلقه‌ی پسماند نشان می‌دهد. این تأثیر به مخصوص طی ۲۰ چرخه اول کاملاً محسوس است. در شکل ۶ تأثیر اعمال چرخه‌های حرارتی بر اندازه‌ی تیغه‌های مارتنزیت مشخص شده است. مقایسه‌ی ریزساختارهای ارائه شده، نشان دهنده درشت‌شدن تدریجی تیغه‌های مارتنزیت بر اثر اعمال چرخه‌های حرارتی است. بررسی این ریزساختارها نشان می‌دهد که درشت‌شدن تدریجی تیغه‌های مارتنزیت با کاهش درصد مارتنزیت باقی‌مانده و حذف خاصیت حافظه‌داری توأم است (شکل ۷).

مقایسه‌ی اطلاعات فلزنگاری^{۱۰} با خواص حافظه‌داری، نشان می‌دهد که رشد ضخامت تیغه‌های مارتنزیت همراه با کاهش درصد مارتنزیت باقی‌مانده به علت تشکیل نقص‌های ساختاری همچون نابهجهای در زمان اعمال چرخه‌های حرارتی در مرز مارتنزیت با فاز مادر است که با جلوگیری از ایجاد مارتنزیت‌های جدید، باعث کاهش حجم نسبی دوقلوهای متحرک شده و خواص حافظه‌داری را پایین می‌آورد.^[۸] کاهش درصد مارتنزیت باقی‌مانده و برگشت حافظه (شکل ۸) بر اثر افزایش تعداد چرخه‌های حرارتی مؤید این مطلب است.

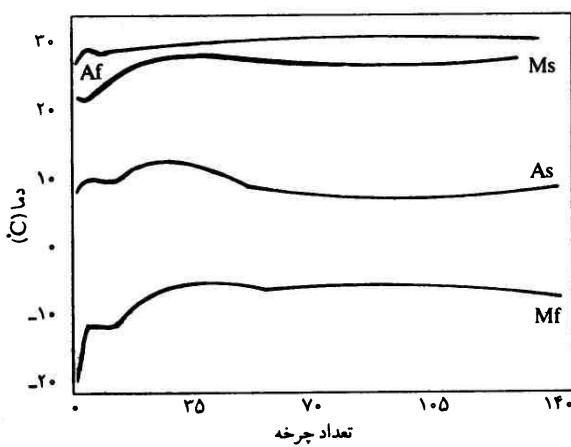
برای تعیین میزان حافظه‌داری در این طراحی، ابتدا نمونه را به



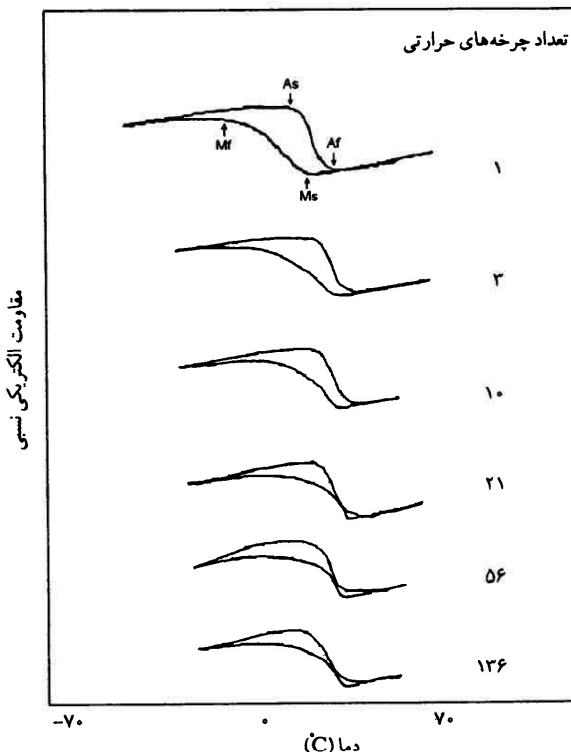
شکل ۵. تأثیر تعداد چرخه‌های حرارتی بر پهنهای حلقه پسماند.

جدول ۲. تأثیر تعداد چرخه‌های حرارتی بر دماهای تبدیل.

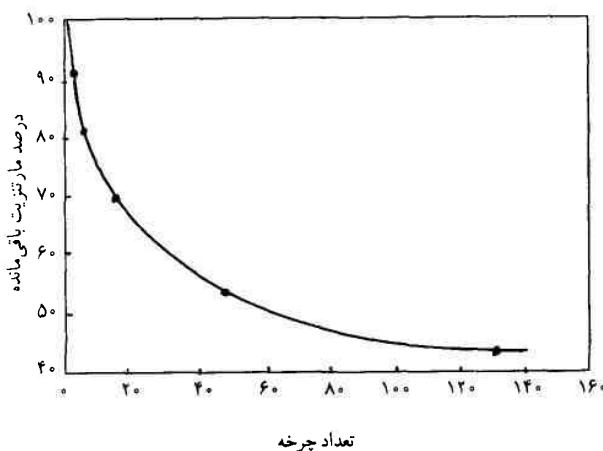
تعداد چرخه	دماهای تغییر حالت (°C)				تعداد چرخه
	پسماند حرارتی (°C)	Af	As	Mf	Ms
۳	۲۷	۱۱	-۱۷	۲۴	۱
۷	۳۱	۱۲	-۱۰	۲۴	۳
۵	۳۱	۱۲	-۱۰	۲۶	۱۰
۲	۳۲	۱۵	-۵	۳۰	۲۱
۳	۳۳	۱۱	-۴	۳۰	۵۶
۳	۳۳	۱۱	-۵	۳۰	۱۳۶



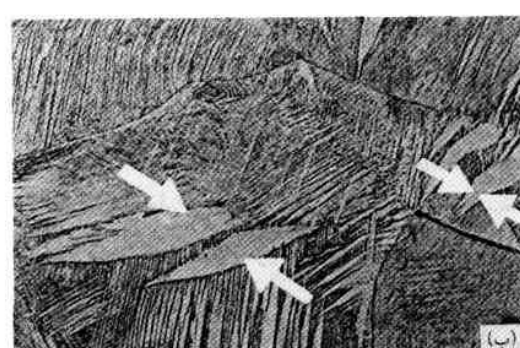
شکل ۳. تأثیر تعداد چرخه‌های حرارتی بر دماهای تبدیل.



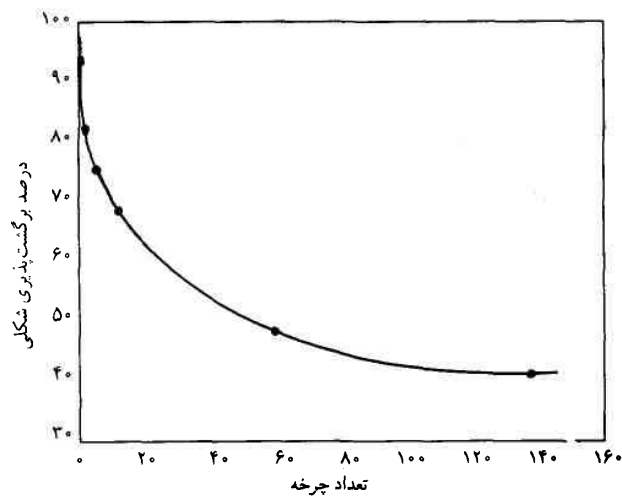
شکل ۴. تأثیر دما و تعداد چرخه‌های حرارتی بر مقاومت الکتریکی.



شکل 7. تأثیر تعداد چرخه‌های حرارتی بر درصد مارتنزیت باقی‌مانده.



شکل 6. تصویر ریزساختار آلیاژ: (الف) بعد از آبدادن $X100$; (ب) پس از 136 چرخهٔ حرارتی. چند نمونه از تیغه‌های مارتنزیت، برای مقایسه با علامت فلش مشخص شده‌اند.



شکل 8. تأثیر تعداد چرخه‌های حرارتی بر برگشت پذیری شکلی آلیاژ.

دمای پایداری مارتنزیت رسانده، آن را به میزان 50°C کردیم. سپس با افزایش دمای نمونه تا بالای دمای Af ، میزان بازگشت زاویه (D) را اندازه گیری، و درصد حافظه‌داری شکل را با استفاده از زاویه‌ای اندازه گیری شده، از رابطه $D = 2D_{\text{original}}$ محاسبه کردیم. در شکل 8 نتایج به دست آمده ارائه شده است.

پانوشت

1. transformation temperature
2. quenching
3. thermal cycling
4. hysteresis
5. shape recovery
6. thermoelastic
7. dendrite
8. ageing
9. reversible
10. metalography

منابع

1. Otsuka, K. and Shimizu, K. "Pseudoelasticity and shape memory effects in alloys", *International Metals Reviews*, pp. 93-114, (1986).
2. Michael, A.D. and Hart, W.B. "SME brass, a new engineering material", *The Metallurgist and Materials Technologist*, p. 434, (1980).
3. Stoeckel, D. "Shape-memory alloys, prompt new actuator designs" *Advanced Materials and Processes*, 10/90, pp. 33-38.
4. Borden, T. "Shape-memory alloys : forming a tight fit", *Mechanical Engineering*, pp. 67-72, (Oct. 1991).

5. Sadrnezhaad, K., Mashhadi, F. and Sharghi, R. "Heat treatment of Ni-Ti alloy for improvement of shape memory effect", *Materials and Manufacturing Processes*, **12**, No. 1, pp. 107-115, (1997).
6. Zarandi, F.M. and Sadrnezhaad, K. "Thermomechanical study in combustion synthesized Ti-Ni shape memory alloy", *Materials and Manufacturing Processes*, **12**, No. 6&9, pp. 1093-1105, (1997).
7. محمدنیا، علی؛ حسینی، سید؛ صدرنژاد، خطیب‌الاسلام. بایان نامه کارشناسی مهندسی متالورژی دانشگاه صنعتی شریف، شهریور ۱۳۷۲
8. Shimizu, K. "Ageing and thermal cycling effects in shape memory alloys", *J.Electron Microsc.*, **34**, No. 4, pp.277-288, (1985).
9. Li, J. and Ansell, G.S. "The effect of thermal cycling on the thermoelastic martensitic transformation in a Cu-Zn-Al alloy", *Metallurgical Transactions A*, **14A**, pp. 1293-1297, (July, 1983).
10. Dunne, D.P. and Kennon, N.F. "The structure of martensite in a Cu-Zn-Al alloy", *Scripta Metallurgica*, **16**, pp. 729-734, (1982).
11. صدرنژاد، خطیب‌الاسلام و احمدیان، حمید. «خواص حافظه‌داری در آباز مس-روی-آلومینیم». مجله استقلال، سال ۱۷، شماره ۲، اسفند ۱۳۷۷، صص ۱۳۹-۱۵۲